

陸棚における津波のソリトンへの分裂について

京都大学防災研究所 王 員 工屋 義人

京都大学防災研究所 正員 山下 隆男

京都大学大学院 学生員・芝野 真次

1. 緒言 昨年、日本海中部地震によつて発生した津波は、各地に大きな被害をもたらした。このとき、能代沖に来襲した津波は、沖合に広く発達した陸棚において、数個の短周期波に分裂したことが報告されている。従来、こうした津波の伝播は主に線形モデルにより議論されてきたが、このような短周期波への分裂はこの浅海域での伝播特性は、その非線形性をも含めて検討する必要がある。そこで本研究では、著者らが既に導いた傾斜海底における K-dV 方程式を用い、津波の陸棚上でのソリトン群への分裂について検討する。すなわち、羽島らによる津波の展折図を参照し、一次元モデル地形を設定し、既知の諸量を用い陰解法による数値解析を行なつた。

2. 基礎方程式 著者らが適用した空間発展型の K-dV 方程式を、図-1 で定義される記号により示せば、次のようになる。

$$\zeta_s + \frac{3U_r}{2C_0} \zeta_{ss} + \frac{C_0}{6} \zeta_{sss} - \frac{\tan\theta}{4\varepsilon^{1/2} C_0} \zeta = 0 \quad (1)$$

ここで、 $\zeta = z^*/H_1$, $z^* = z/R_1$, $x^* = x/R_1$, $t^* = t\sqrt{g/R_1}$, $\varepsilon = \varepsilon^{1/2} x^*$, $\delta = \varepsilon^{1/2} (\int dx^*/C_0 - t^*)$, $C_0 = \sqrt{R_1/R_2}$, $U_r = H_1 L_1^2 / R_1^2$ (アーベル数), $\varepsilon = (R_1/L_1)^2 \ll 1$, H_1 = 入射波高, $\tan\theta$ = 陸棚勾配である。さらに、式(1)で、周期 T が保存されるとすると $\delta' = C^* \delta$ ($C^* = C/\sqrt{gR_1}$; $C = \sqrt{gR_1}$) を用いれば、次のようになる。

$$\zeta_s + \frac{3U_r C^*}{2C_0} \zeta_{ss} + \frac{C_0 C^{*3}}{6} \zeta_{sss} - \frac{\tan\theta}{4\varepsilon^{1/2} C_0} \zeta = 0 \quad (2)$$

数値解法として陰解法を用い、式(2)を以下のように変形し、周期境界条件の下で解析を行なつた。

$$\frac{\zeta'' - \zeta'}{\Delta s} + \frac{3U_r C^*}{2C_0} \frac{\zeta_n + \zeta_{n+1} - 2\zeta_{n+1} + 2\zeta_{n-1} - \zeta_{n-2}}{3} + \frac{C_0 C^{*3}}{6} \frac{\zeta_{n+1} - 2\zeta_{n+1} + 2\zeta_{n-1} - \zeta_{n-2}}{2(\Delta s)^2} - \frac{\tan\theta}{4\varepsilon^{1/2} C_0} \cdot \zeta_{n+1} = 0 \quad (3)$$

3. 計算条件 対象海域での海底地形は図-2 のようになり、図中の斜線部は推定された津波の波源東端部である。図中、A 及び B 線はそれを能代港より波源に直角及び東西方向の測線であり、その断面を図-3 に示した。図-3 やらわかるように、この海域は非常に遠浅で、離岸距離離約 30km までは平均勾配約 1/400 程度で、陸棚先端部の水深は 100m 程度である。そこで本研究では、陸棚勾配を、 $\tan\theta = 0.00235$ ($50m \leq R \leq 100m$), $\tan\theta = 0.0066$ ($20m \leq R \leq 50m$), $\tan\theta = 0.02$ ($0m \leq R < 20m$) とした。

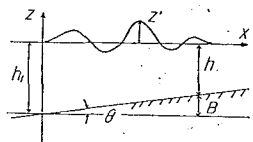


図-1 座標系

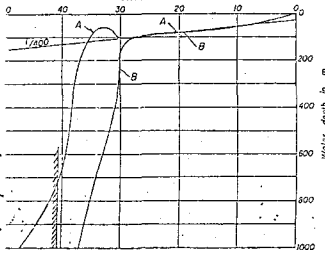
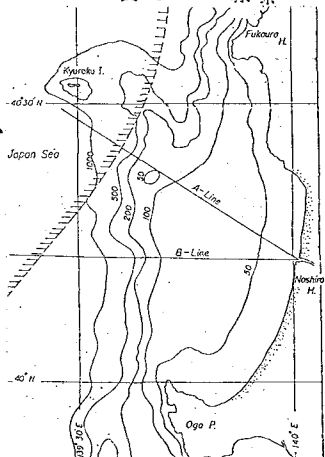


図-3 能代沖海底地形(2)

Yoshito TSUCHIYA · Takao YAMASHITA · Shinji SHIBANO

入力波形は正弦波とした。また、各地の検潮記録を解析することにより、津波の発生周期は7minないし8minであるとした。波高については不明であるが、港湾技術研究所によれば、能代港での第一波最大偏差は1.94mで、最高潮位は2.08mと見積もられてる。以上より、津波の諸量として、図-4に示す津波のスペクトルから見出される周期7min～8minとし、沖波波高1m～2mを仮定した。波高及び波長は波源から陸棚先端部まで線形変形するものとし、shoaling計算を行ない、その波形を入力条件とした。

4. 解析結果 前述した条件を用いた解析結果の一例を図-5(u)～(v)に示す。ただし、初期波形は陸棚先端のもの(図より)、津波は伝播とともに波高が増大し、波の峰の曲率が増し非線形性をあびてくる。そして、あるところで見掛け上短周期波と思われるようソリトン群に分裂することがわかる。また、分裂したソリトンの個数は3個程度であり見掛け上の周期は5secないし12secである。周期7min及び8minで波高/mの場合、陸棚におけるshoaling factorはそれぞれ約3.5及び2.3(ソリトン分裂した時の偏差はそれぞれ2.2m及び2.3mとなる)したがって、前述した能代港における偏差と一対比できるものである。また、日本海沿岸における潮位偏差が小さいことを考慮すれば、今回の結果は能代港における津波が3個程度の短周期波に分裂したことの一応裏付けたものであると言える。一方、港湾技術研究所が能代港沖を対象に行なった縮尺1/200の水理実験と比較すると、実験と本研究では陸棚勾配や初期波形に若干の相違はあるが、得られた結果はソリトンの個数、周期、波高ともにかなり一致しており、このことからも本研究の妥当性がうかがわれる。

5. 結語 以上、陸棚における津波の非線形挙動を傾斜海浜上におけるKdV方程式によるソリトン分裂として取扱い、能代沖のような遠浅な陸棚に今回のような周期の短かい津波が来襲すると、津波はソリトンに分裂する可能性があることを示すことができた。なお、数値計算に当つては、京都大学防災研究所宇治川水理実験所のスパーキニコンPC-98-NEC MS-190を使用した。

参考文献

1) 木本勝利・高山知司他: 1983年日本海中部地震津波の実態と二三の考察, 港湾技研資料, Vol. 1983, No. 470, p.289, 1983.

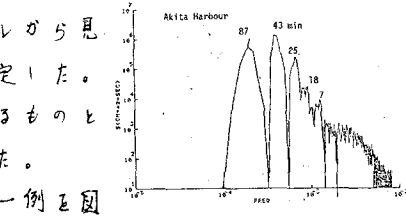
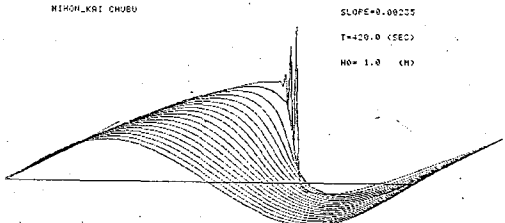
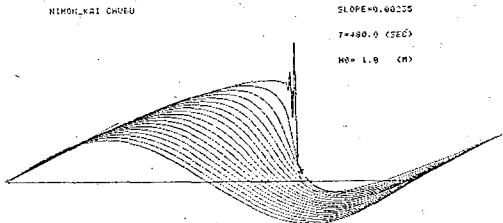


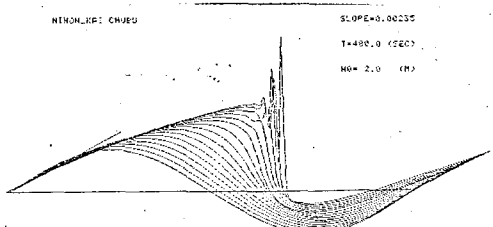
図-4 津波のスペクトル(秋田港)



(u) 周期 7min, 沖波波高 1m



(v) 周期 8min, 沖波波高 1m



(w) 周期 8min, 沖波波高 2m

図-5 津波のソリトンへの分裂